

# 基于 FPGA 高效实现 FIR 滤波器的研究

王新刚 杨家玮 李建东

(西安电子科技大学信息科学研究所,西安 710071)

**摘要** 文章对 FPGA 中 FIR 滤波器的高效实现进行了研究。介绍了流水线技术的原理和应用,比较了整数的 CSD 表示和根据 FPGA 结构加以改进的最优表示,提出了 FIR 滤波器高效实现的措施。最后以具体实例说明了这些措施的可行性和有效性。

**关键词** FIR 滤波器 FPGA 流水线技术 CSD

## 1 引言

FPGA 有着规整的内部逻辑阵列和丰富的连线资源,特别适合于数字信号处理。FPGA 又具有可编程逻辑器件的用户可编程特性,可以减少系统设计和维护的风险,缩短设计周期。多年来,在数字信号处理的 FPGA 实现过程中,为提高系统速度、减少实现的复杂性做了许多努力。

文章以 FIR 滤波器的 FPGA 实现为例,阐述了 FPGA 应用在数字信号处理中的一些高效实现技术。首先介绍了流水线技术的原理和应用;接着比较了有符号数的 CSD 表示和根据 FPGA 结构改进的最优;最后综合流水线技术和滤波器系数的最优表示,讨论了 FIR 滤波器的高效实现的措施,并以具体实例说明了这些措施的可行性和有效性。

## 2 流水线技术的原理和应用

### 2.1 流水线技术的作用原理

流水线技术就是把在一个时钟周期内执行的操作分成几步相对独立的、可以顺序执行而又相互关联的较小操作,并在多个较高速的时钟内完成。图 1 是采用流水线技术的一个指令集的操作过程。将某一操作分为 3 个子任务:取值  $I_1$ 、译码  $I_2$  和运算  $I_3$ 。假如每个操作执行的时间均为  $T$ ,则执行 3 个操作的执行时间为  $3T$ 。

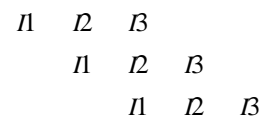


图 1 采用流水线技术的操作

将这 3 个子任务在时间上重叠,用 3 个子部件来完成,相应的 3 个子部件连接成串行方式,每个子部件执行的时间为  $T$ ,每隔  $T$  时间就可输出一个操作处理结果,平均速度提高了 3 倍,在加入适当的转移控制之后,即成为流水线操作的工作方式<sup>[1]</sup>。

### 2.2 流水线技术的设计应用

采用流水线技术,可以大大提高系统运行速度,特别适合于需要进行大批量简单运算的场合,如数字信号处理中的卷积操作、FFT 或 FIR 滤波等。

加法运算是最基本的数字信号处理运算,减法、乘法、除法或 FFT 运算都可分解为加法运算。因而研究如何提高其运行速度很有必要。采用流水线技术可以将一个算术操作分解成一些小规模的基

本操作,将进位和中间值存储在寄存器中,并在下一个时钟周期内继续运算,可提高算术操作速度。采用这种技术的加法器通常称为“进位存储加法器”(carry save adder, CSA)。

下面以一个 4 位流水线加法器的实现为例来说明流水线技术的应用。将低位和(运算结果)用一个 2 位寄存器暂存,为了保证低位的进位与高 4 位同步进入高位加法器,将高 4 位用一个 4 位的寄存器锁存,这样就实现了一个 4 位并行流水线加法器,如图 2 所示。对于 8 位并行流水线加法器同样可在低位加法器输出时,采用寄存器暂存,并将高位输入加数用寄存器锁存。如果 8 位加法器是由 4 位加法器所构成,则至少可加入两级流水线<sup>[2]</sup>。而更高位的流水线加法器的实现与此类同,并且其他设计在应用流水线技术时也基本如此,可作类似推广。

FPGA 的每一个逻辑元件都包括一个触发器,此触发器或者没有用到,或者是用来存储布线资源。所以流水线技术很适合应用在 FPGA 的设计之中,只需要极少或者根本不需要额外的成本。虽然流水线技术能提高 FIR 滤波器的运行速度,但是其系数是传统二进制的,造成了很大的逻辑冗余。因此需要在保证 FIR 滤波器速度的前提下,对其系数进行优化,降低逻辑资源的消耗。

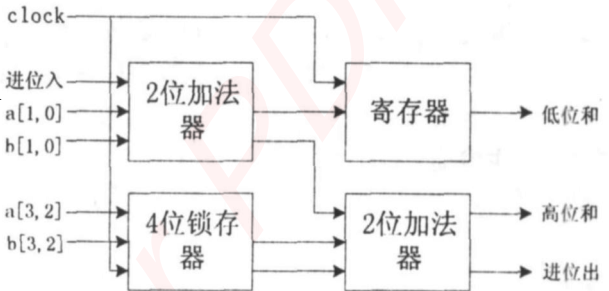


图 2 4 位流水线加法器

### 3 有符号数的 CSD 表示和最优表示

一个整数  $x$  的二进制表示如  $(x_{b-1} \dots x_1 x_0)$ , 就是若干个 2 的整数次幂之和,它与另一整数  $y$  的乘积可写为如式 (1) 所示:

$$x \cdot y = y \cdot \sum_{b=0}^{B-1} x_b 2^b = \sum_{b=0}^{B-1} x_b (y 2^b) \quad (1)$$

由于  $x_b = 0$  时的对应项  $y 2^b$  并不参与累加运算,所以可以寻找一种表示方法,使非零元素的数量降低,从而使加法器的数目减少,降低硬件规模。

有符号数 (Signed Digit Numbers, SD) 表示是一种三元数值系统,即将数用  $(-1, 0, 1)$  来表示,其中  $-1$  常写为  $\bar{1}$ 。从最低有效位开始,用  $10 \dots 01$  取代所有大于或等于 2 的 1 序列,即可得到 CSD 表示。CSD 表示的任意两个数位之间至少有一个 0,可以证明 CSD 表示对给定数是唯一的,并且有最少的非零位<sup>[3]</sup>。因为 CSD 表示可以减少非零元素的数量,在乘法运算中减少部分积的乘积项,从而减少所用加法器/减法器的数量,大大降低了逻辑资源的占用(大约平均降低 33% 的逻辑资源)<sup>[4]</sup>。

当用硬件实现时,常常限制系数  $B$  的个数,即每个系数与  $N$  个正(负) 2 的幂次之和近似。标准二进制数在整数轴上是紧密和均匀分布的,而 CSD 表示是非均匀分布的,其对实系数的量化误差比标准二进制大。虽然增加  $N$  可以减小量化误差,但是会增大逻辑资源的消耗;而且 CSD 表示无法应用流水线结构,从而降低了处理速度。因此需要寻找适合并行和流水结构的系数表示法。

在对系数进行 CSD 表示时,如果系数能拆分成几个因子,再对具体因子进行表示通常更优,效率更高。比如系数 45, CSD 表示为  $1010101$ , 而  $45 = 5 * 9$ , 从图 3 中可见 CSD 表示使用了 3 个加法器,而最优表示仅使用两个。CSD 表示的每一级加法都需要初节点参与,而最优表示仅需要上一级加法的结果,适用于流水线处理。常系数乘法器的成本通常是指所需加法器的数量。文献 [4] 给出了需要 1~4 个加法器的所有可能配置图,根据此图,就可以合成所有成本在 1~4 个加法器之间的系数,进而可以给出所有成本在 0 与 3 之间的 8 位整数的最佳编码。

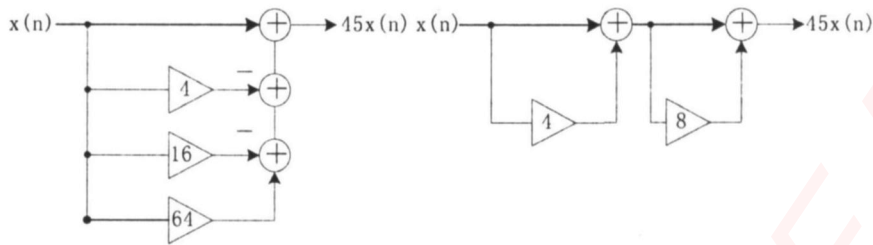


图 3 45的 CSD表示和最优表示

#### 4 FIR 滤波器的高效实现

转置式 FIR 滤波器是对直接 FIR 进行如下变化得到的：

- (1) 输入与输出互换；
- (2) 信号流方向反向；
- (3) 差分放大器与加法器互换。

相对直接 FIR, 转置式 FIR 的优点在于: 不需要对输入提供额外的移位寄存器; 系数可重复使用; 可以采用流水线加法器。

利用流水线技术、滤波器系数采用 CSD 最优表示和采用转置式结构等优化措施, 可以高效实现 FIR 滤波器, 主要过程如下:

- (1) 去掉系数的负号, 负号可以通过滤波器的抽头延迟线上的减法实现。
- (2) 去掉所有 2 的幂的系数和因子, 2 的幂可以通过硬连线的数据移位来实现。
- (3) 对系数采用 CSD 最优表示。
- (4) 实现所有值为 1 的系数。
- (5) 用值为 1 的系数构造更高值的系数。
- (6) 采用流水线技术。

为了说明上述优化措施的效果, 对文献 [5] 中定义的 F5 半带 FIR 滤波器的系数进行编码。F5 半带 FIR 滤波器有 4 个非零系数 ( $h[0]$ ,  $h[1]$ ,  $h[3]$ ,  $h[5]$ ), 分别是 256、150、-25 和 3。如果用直接 CSD 表示实现, 根据文献 [4] 的表可得所需加法器的个数为 6 个; 利用上面的优化措施, 得到的实现图如图 4 所示, 可见仅需 3 个加法器。由此可见采用以上措施会降低滤波器的规模, 由于采用流水线技术, 也会提高速度。

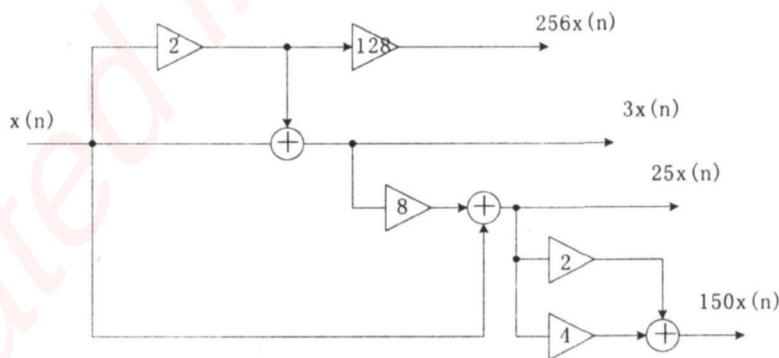


图 4 F5 系数的最优实现

## 5 结束语

本文阐述了 FPGA 应用在数字信号处理中的一些高效实现技术。介绍了流水线技术的原理以及流水线加法器的实现;针对系数的二进制表示非零位不是最少,介绍了有符号数的 CSD 表示以及为了应用流水线技术而改进的最优表示;综合流水线技术和滤波器系数的最优表示,讨论了 FIR 滤波器的高效实现的措施;最后用半波带 FIR 滤波器 F5 系数的两种实现的比较说明了这些措施的可行性和有效性。

### 参考文献

- 1 郭书军,王玉花. 流水线技术在 FPGA 设计中的应用 [J]. 北方工业大学学报, 2004, 16(1): 62 ~ 64
- 2 肖良军,江波. 流水线技术在高速数字电路设计中的应用 [J]. 压电与声光, 2003, 25(5): 422 ~ 424
- 3 He Shousheng, Torkleson M. FPGA implementation of FIR filters using pipelined bit-serial Canonical Signed Digit multipliers[J]. IEEE Custom Integrated Circuits Conference, 1994
- 4 Meyer-Baese U. Digital signal processing with field programmable gate arrays [M]. Springer-Verlag 2001
- 5 Goodman D J, Carey M J. Nine digital filters for decimation and interpolation [J]. IEEE Trans. on Acoustics, Speech and Signal Processing 1977

### 作者简介

王新刚 1980年生,西安电子科技大学硕士研究生。主要研究方向:移动通信。

杨家玮 1946年生,西安电子科技大学教授,博士生导师。主要研究方向:移动通信。

李建东 1962年生,西安电子科技大学教授,博士生导师。主要研究方向:宽带无线 IP 技术、移动通信等。

## The Research on an Efficient Implementation of FIR Filter on FPGA

WANG Xin-gang, YANG Jia-wei, LI Jian-dong

(Information Science Institute, Xidian University, Xi'an 710071)

**Abstract** The efficient implementation of FIR filters is researched on FPGA. We introduce the principle and the application of the pipelined technology. Then the CSD representation of integer is introduced, followed by an improved optimum representation according to the FPGA structure. The efficient measures to implement FIR filters are brought forward. We offer an example to prove these measures are feasible and efficient at last.

**Subject Term** FIR Filter; FPGA; pipelined technology; CSD

# 嵌入式资源免费下载

## 总线协议:

1. [基于 PCIe 驱动程序的数据传输卡 DMA 传输](#)
2. [基于 PCIe 总线协议的设备驱动开发](#)
3. [CANopen 协议介绍](#)
4. [基于 PXI 总线 RS422 数据通信卡 WDM 驱动程序设计](#)
5. [FPGA 实现 PCIe 总线 DMA 设计](#)
6. [PCI Express 协议实现与验证](#)
7. [VPX 总线技术及其实现](#)
8. [基于 Xilinx FPGA 的 PCIE 接口实现](#)
9. [基于 PCI 总线的 GPS 授时卡设计](#)
10. [基于 CPCI 标准的 6U 信号处理平台的设计](#)
11. [USB30 电路保护](#)
12. [USB30 协议分析与框架设计](#)
13. [USB 30 中的 CRC 校验原理及实现](#)
14. [基于 CPLD 的 UART 设计](#)
15. [IPMI 在 VPX 系统中的应用与设计](#)
16. [基于 CPCI 总线的 PMC 载板设计](#)
17. [基于 VPX 总线的工件台运动控制系统研究与开发](#)
18. [PCI Express 流控机制的研究与实现](#)
19. [UART16C554 的设计](#)
20. [基于 VPX 的高性能计算机设计](#)
21. [基于 CAN 总线技术的嵌入式网关设计](#)
22. [Visual C 串行通讯控件使用方法与技巧的研究](#)
23. [IEEE1588 精密时钟同步关键技术研究](#)
24. [GPS 信号发生器射频模块的一种实现方案](#)
25. [基于 CPCI 接口的视频采集卡的设计](#)
26. [基于 VPX 的 3U 信号处理平台的设计](#)
27. [基于 PCI Express 总线 1394b 网络传输系统 WDM 驱动设计](#)
28. [AT89C52 单片机与 ARINC429 航空总线接口设计](#)
29. [基于 CPCI 总线多 DSP 系统的高速主机接口设计](#)
30. [总线协议中的 CRC 及其在 SATA 通信技术中的应用](#)
31. [基于 FPGA 的 SATA 硬盘加解密控制器设计](#)
32. [Modbus 协议在串口通讯中的研究及应用](#)
33. [高可用的磁盘阵列 Cache 的设计和实现](#)
34. [RAID 阵列中高速 Cache 管理的优化](#)

35. [一种新的基于 RAID 的 CACHE 技术研究与实现](#)
36. [基于 PCIE-104 总线的高速数据接口设计](#)
37. [基于 VPX 标准的 RapidIO 交换和 Flash 存储模块设计](#)
38. [北斗卫星系统在海洋工程中的应用](#)
39. [北斗卫星系统在远洋船舶上应用的研究](#)
40. [基于 CPCI 总线的红外实时信号处理系统](#)
41. [硬件实现 RAID 与软件实现 RAID 的比较](#)
42. [基于 PCI Express 总线系统的热插拔设计](#)
43. [基于 RAID5 的磁盘阵列 Cache 的研究与实现](#)
44. [基于 PCI 总线的 MPEG2 码流播放卡驱动程序开发](#)
45. [基于磁盘阵列引擎的 RAID5 小写性能优化](#)
46. [基于 IEEE1588 的时钟同步技术研究](#)
47. [基于 Davinci 平台的 SD 卡读写优化](#)
48. [基于 PCI 总线的图像处理及传输系统的设计](#)
49. [串口和以太网通信技术在油液在线监测系统中的应用](#)
50. [USB30 数据传输协议分析及实现](#)
51. [IEEE 1588 协议在工业以太网中的实现](#)
52. [基于 USB30 的设备自定义请求实现方法](#)
53. [IEEE1588 协议在网络测控系统中的应用](#)
54. [USB30 物理层中弹性缓冲的设计与实现](#)
55. [USB30 的高速信息传输瓶颈研究](#)
56. [基于 IPv6 的 UDP 通信的实现](#)
57. [一种基于 IPv6 的流媒体传送方案研究与实现](#)
58. [基于 IPv4-IPv6 双栈的 MODBUS-TCP 协议实现](#)
59. [RS485CAN 网关设计与实现](#)
60. [MVB 周期信息的实时调度](#)
61. [RS485 和 PROFINET 网关设计](#)
62. [基于 IPv6 的 Socket 通信的实现](#)
63. [MVB 网络重复器的设计](#)
64. [一种新型 MVB 通信板的探究](#)
65. [具有 MVB 接口的输入输出设备的分析](#)
66. [基于 STM32 的 GSM 模块综合应用](#)
67. [基于 ARM7 的 MVB CAN 网关设计](#)
68. [机车车辆的 MVB CAN 总线网关设计](#)
69. [智能变电站冗余网络中 IEEE1588 协议的应用](#)
70. [CAN 总线的浅析 CANopen 协议](#)
71. [基于 CANopen 协议实现多电机系统实时控制](#)
72. [以太网时钟同步协议的研究](#)
73. [基于 CANopen 的列车通信网络实现研究](#)
74. [基于 SJA1000 的 CAN 总线智能控制系统设计](#)
75. [基于 CANopen 的运动控制单元的设计](#)
76. [基于 STM32F107VC 的 IEEE 1588 精密时钟同步分析与实现](#)

77. [分布式控制系统精确时钟同步技术](#)
78. [基于 IEEE 1588 的时钟同步技术在分布式系统中应用](#)
79. [基于 SJA1000 的 CAN 总线通讯模块的实现](#)
80. [嵌入式设备的精确时钟同步技术的研究与实现](#)
81. [基于 SJA1000 的 CAN 网桥设计](#)
82. [基于 CAN 总线分布式温室监控系统的设计与实现](#)
83. [基于 DSP 的 CANopen 通讯协议的实现](#)

## VxWorks:

1. [基于 VxWorks 的多任务程序设计](#)
2. [基于 VxWorks 的数据采集存储装置设计](#)
3. [Flash 文件系统分析及其在 VxWorks 中的实现](#)
4. [VxWorks 多任务编程中的异常研究](#)
5. [VxWorks 应用技巧两例](#)
6. [一种基于 VxWorks 的飞行仿真实时管理系统](#)
7. [在 VxWorks 系统中使用 TrueType 字库](#)
8. [基于 FreeType 的 VxWorks 中文显示方案](#)
9. [基于 Tilcon 的 VxWorks 简单动画开发](#)
10. [基于 Tilcon 的某武器显控系统界面设计](#)
11. [基于 Tilcon 的综合导航信息处理装置界面设计](#)
12. [VxWorks 的内存配置和管理](#)
13. [基于 VxWorks 系统的 PCI 配置与应用](#)
14. [基于 MPC8270 的 VxWorks BSP 的移植](#)
15. [Bootrom 功能改进经验谈](#)
16. [基于 VxWorks 嵌入式系统的中文平台研究与实现](#)
17. [VxBus 的 A429 接口驱动](#)
18. [基于 VxBus 和 MPC8569E 千兆网驱动开发和实现](#)
19. [一种基于 vxBus 的 PPC 与 FPGA 高速互联的驱动设计方法](#)
20. [基于 VxBus 的设备驱动开发](#)
21. [基于 VxBus 的驱动程序架构分析](#)
22. [基于 VxBus 的高速数据采集卡驱动程序开发](#)
23. [Vxworks 下的冗余 CAN 通讯模块设计](#)
24. [WindML 工业平台下开发 S1d13506 驱动及显示功能的实现](#)
25. [WindML 中 Mesa 的应用](#)
26. [VxWorks 下图形用户界面开发中双缓冲技术应用](#)
27. [VxWorks 上的一种 GUI 系统的设计与实现](#)
28. [VxWorks 环境下 socket 的实现](#)

29. [VxWorks 的 WindML 图形界面程序的框架分析](#)
30. [VxWorks 实时操作系统及其在 PC104 下以太网编程的应用](#)
31. [实时操作系统任务调度策略的研究与设计](#)
32. [军事指挥系统中 VxWorks 下汉字显示技术](#)
33. [基于 VxWorks 实时控制系统中文交互界面开发平台](#)
34. [基于 VxWorks 操作系统的 WindML 图形操控界面实现方法](#)
35. [基于 GPU FPGA 芯片原型的 VxWorks 下驱动软件开发](#)
36. [VxWorks 下的多串口卡设计](#)
37. [VxWorks 内存管理机制的研究](#)
38. [T9 输入法在 Tilcon 下的实现](#)
39. [基于 VxWorks 的 WindML 图形界面开发方法](#)
40. [基于 Tilcon 的 IO 控制板可视化测试软件的设计和实现](#)
41. [基于 VxWorks 的通信服务器实时多任务软件设计](#)
42. [基于 VXWORKS 的 RS485MVB 网关的设计与实现](#)
43. [实时操作系统 VxWorks 在微机保护中的应用](#)
44. [基于 VxWorks 的多任务程序设计及通信管理](#)
45. [基于 Tilcon 的 VxWorks 图形界面开发技术](#)
46. [嵌入式图形系统 Tilcon 及应用研究](#)
47. [基于 VxWorks 的数据采集与重演软件的图形界面的设计与实现](#)
48. [基于嵌入式的 Tilcon 用户图形界面设计与开发](#)
49. [基于 Tilcon 的交互式多页面的设计](#)
50. [基于 Tilcon 的嵌入式系统人机界面开发技术](#)
51. [基于 Tilcon 的指控系统多任务人机交互软件设计](#)
52. [基于 Tilcon 航海标绘台界面设计](#)
53. [基于 Tornado 和 Tilcon 的嵌入式 GIS 图形编辑软件的开发](#)

## Linux:

1. [Linux 程序设计第三版及源代码](#)
2. [NAND FLASH 文件系统的设计与实现](#)
3. [多通道串行通信设备的 Linux 驱动程序实现](#)
4. [Zsh 开发指南-数组](#)
5. [常用 GDB 命令中文速览](#)
6. [嵌入式 C 进阶之道](#)
7. [Linux 串口编程实例](#)
8. [基于 Yocto Project 的嵌入式应用设计](#)
9. [Android 应用的反编译](#)
10. [基于 Android 行为的加密应用系统研究](#)
11. [嵌入式 Linux 系统移植步步通](#)

12. [嵌入式 C++ 语言精华文章集锦](#)
13. [基于 Linux 的高性能服务器端的设计与研究](#)
14. [S3C6410 移植 Android 内核](#)
15. [Android 开发指南中文版](#)
16. [图解 Linux 操作系统架构设计与实现原理（第二版）](#)
17. [如何在 Ubuntu 和 Linux Mint 下轻松升级 Linux 内核](#)
18. [Android 简单 mp3 播放器源码](#)
19. [嵌入式 Linux 系统实时性的研究](#)
20. [Android 嵌入式系统架构及内核浅析](#)
21. [基于嵌入式 Linux 操作系统内核实时性的改进方法研究](#)
22. [Linux TCP IP 协议详解](#)
23. [Linux 桌面环境下内存去重技术的研究与实现](#)
24. [掌握 Android 7.0 新增特性 Quick Settings](#)
25. [Android 应用逆向分析方法研究](#)
26. [Android 操作系统的课程教学](#)
27. [Android 智能手机操作系统的研究](#)
28. [Android 英文朗读功能的实现](#)
29. [基于 Yocto 订制嵌入式 Linux 发行版](#)
30. [基于嵌入式 Linux 的网络设备驱动设计与实现](#)
31. [如何高效学习嵌入式](#)
32. [基于 Android 平台的 GPS 定位系统的设计与实现](#)
33. [LINUX ARM 下的 USB 驱动开发](#)
34. [Linux 下基于 I2C 协议的 RTC 驱动开发](#)
35. [嵌入式下 Linux 系统设备驱动程序的开发](#)
36. [基于嵌入式 Linux 的 SD 卡驱动程序的设计与实现](#)
37. [Linux 系统中进程调度策略](#)
38. [嵌入式 Linux 实时性方法](#)
39. [基于实时 Linux 计算机联锁系统实时性分析与改进](#)
40. [基于嵌入式 Linux 下的 USB30 驱动程序开发方法研究](#)
41. [Android 手机应用开发之音乐资源播放器](#)
42. [Linux 下以太网的 IPv6 隧道技术的实现](#)
43. [Research and design of mobile learning platform based on Android](#)
44. [基于 linux 和 Qt 的串口通信调试器调的设计及应用](#)
45. [在 Linux 平台上基于 QT 的动态图像采集系统的设计](#)
46. [基于 Android 平台的医护查房系统的研究与设计](#)
47. [基于 Android 平台的软件自动化监控工具的设计开发](#)
48. [基于 Android 的视频软硬解码及渲染的对比研究与实现](#)
49. [基于 Android 移动设备的加速度传感器技术研究](#)
50. [基于 Android 系统振动测试仪研究](#)
51. [基于缓存竞争优化的 Linux 进程调度策略](#)

## Windows CE:

1. [Windows CE.NET 下 YAFFS 文件系统 NAND Flash 驱动程序设计](#)
2. [Windows CE 的 CAN 总线驱动程序设计](#)
3. [基于 Windows CE.NET 的 ADC 驱动程序实现与应用的研究](#)
4. [基于 Windows CE.NET 平台的串行通信实现](#)
5. [基于 Windows CE.NET 下的 GPRS 模块的研究与开发](#)
6. [win2k 下 NTFS 分区用 ntldr 加载进 dos 源代码](#)
7. [Windows 下的 USB 设备驱动程序开发](#)
8. [WinCE 的大容量程控数据传输解决方案设计](#)
9. [WinCE6.0 安装开发详解](#)
10. [DOS 下仿 Windows 的自带计算器程序 C 源码](#)
11. [G726 局域网语音通话程序和源代码](#)
12. [WinCE 主板加载第三方驱动程序的方法](#)
13. [WinCE 下的注册表编辑程序和源代码](#)
14. [WinCE 串口通信源代码](#)
15. [WINCE 的 SD 卡程序\[可实现读写的源码\]](#)
16. [基于 WinCE 的 BootLoader 研究](#)
17. [Windows CE 环境下无线网卡的自动安装](#)
18. [基于 Windows CE 的可视电话的研究与实现](#)
19. [基于 WinCE 的嵌入式图像采集系统设计](#)
20. [基于 ARM 与 WinCE 的掌纹鉴别系统](#)
21. [DCOM 协议在网络冗余环境下的应用](#)
22. [Windows XP Embedded 在变电站通信管理机中的应用](#)
23. [XPE 在多功能显控台上的开发与应用](#)
24. [基于 Windows XP Embedded 的 LKJ2000 仿真系统设计与实现](#)
25. [虚拟仪器的 Windows XP Embedded 操作系统开发](#)
26. [基于 EVC 的嵌入式导航电子地图设计](#)
27. [基于 XPEmbedded 的警务区 SMS 指挥平台的设计与实现](#)
28. [基于 XPE 的数字残币兑换工具开发](#)

## PowerPC:

1. [Freescale MPC8536 开发板原理图](#)
2. [基于 MPC8548E 的固件设计](#)
3. [基于 MPC8548E 的嵌入式数据处理系统设计](#)
4. [基于 PowerPC 嵌入式网络通信平台的实现](#)

5. [PowerPC 在车辆显控系统中的应用](#)
6. [基于 PowerPC 的单板计算机的设计](#)
7. [用 PowerPC860 实现 FPGA 配置](#)
8. [基于 MPC8247 嵌入式电力交换系统的设计与实现](#)
9. [基于设备树的 MPC8247 嵌入式 Linux 系统开发](#)
10. [基于 MPC8313E 嵌入式系统 UBoot 的移植](#)
11. [基于 PowerPC 处理器 SMP 系统的 UBoot 移植](#)
12. [基于 PowerPC 双核处理器嵌入式系统 UBoot 移植](#)
13. [基于 PowerPC 的雷达通用处理机设计](#)
14. [PowerPC 平台引导加载程序的移植](#)
15. [基于 PowerPC 嵌入式内核的多串口通信扩展设计](#)
16. [基于 PowerPC 的多网口系统抗干扰设计](#)
17. [基于 MPC860T 与 VxWorks 的图形界面设计](#)
18. [基于 MPC8260 处理器的 PPMC 系统](#)
19. [基于 PowerPC 的控制器研究与设计](#)
20. [基于 PowerPC 的模拟量输入接口扩展](#)
21. [基于 PowerPC 的车载通信系统设计](#)
22. [基于 PowerPC 的嵌入式系统中通用 IO 口的扩展方法](#)
23. [基于 PowerPC440GP 型微控制器的嵌入式系统设计与研究](#)
24. [基于双 PowerPC 7447A 处理器的嵌入式系统硬件设计](#)
25. [基于 PowerPC603e 通用处理模块的设计与实现](#)
26. [嵌入式微机 MPC555 驻留片内监控器的开发与实现](#)
27. [基于 PowerPC 和 DSP 的电能质量在线监测装置的研制](#)
28. [基于 PowerPC 架构多核处理器嵌入式系统硬件设计](#)
29. [基于 PowerPC 的多屏系统设计](#)
30. [基于 PowerPC 的嵌入式 SMP 系统设计](#)

## ARM:

1. [基于 DiskOnChip 2000 的驱动程序设计及应用](#)
2. [基于 ARM 体系的 PC-104 总线设计](#)
3. [基于 ARM 的嵌入式系统中断处理机制研究](#)
4. [设计 ARM 的中断处理](#)
5. [基于 ARM 的数据采集系统并行总线的驱动设计](#)
6. [S3C2410 下的 TFT LCD 驱动源码](#)
7. [STM32 SD 卡移植 FATFS 文件系统源码](#)
8. [STM32 ADC 多通道源码](#)
9. [ARM Linux 在 EP7312 上的移植](#)

10. [ARM 经典 300 问](#)
11. [基于 S5PV210 的频谱监测设备嵌入式系统设计与实现](#)
12. [Uboot 中 start.S 源码的指令级的详尽解析](#)
13. [基于 ARM9 的嵌入式 Zigbee 网关设计与实现](#)
14. [基于 S3C6410 处理器的嵌入式 Linux 系统移植](#)
15. [CortexA8 平台的  \$\mu\$ C-OS II 及 LwIP 协议栈的移植与实现](#)
16. [基于 ARM 的嵌入式 Linux 无线网卡设备驱动设计](#)
17. [ARM S3C2440 Linux ADC 驱动](#)
18. [ARM S3C2440 Linux 触摸屏驱动](#)
19. [Linux 和 Cortex-A8 的视频处理及数字微波传输系统设计](#)
20. [Nand Flash 启动模式下的 Uboot 移植](#)
21. [基于 ARM 处理器的 UART 设计](#)
22. [ARM CortexM3 处理器故障的分析与处理](#)
23. [ARM 微处理器启动和调试浅析](#)
24. [基于 ARM 系统下映像文件的执行与中断运行机制的实现](#)
25. [中断调用方式的 ARM 二次开发接口设计](#)
26. [ARM11 嵌入式系统 Linux 下 LCD 的驱动设计](#)
27. [Uboot 在 S3C2440 上的移植](#)
28. [基于 ARM11 的嵌入式无线视频终端的设计](#)
29. [基于 S3C6410 的 Uboot 分析与移植](#)
30. [基于 ARM 嵌入式系统的高保真无损音乐播放器设计](#)
31. [UBoot 在 Mini6410 上的移植](#)
32. [基于 ARM11 的嵌入式 Linux NAND FLASH 模拟 U 盘挂载分析与实现](#)
33. [基于 ARM11 的电源完整性分析](#)
34. [基于 ARM S3C6410 的 uboot 分析与移植](#)
35. [基于 S5PC100 移动视频监控终端的设计与实现](#)

## Hardware:

1. [DSP 电源的典型设计](#)
2. [高频脉冲电源设计](#)
3. [电源的综合保护设计](#)
4. [任意波形电源的设计](#)
5. [高速 PCB 信号完整性分析及应用](#)
6. [DM642 高速图像采集系统的电磁干扰设计](#)
7. [使用 COM Express Nano 工控板实现 IP 调度设备](#)
8. [基于 COM Express 架构的数据记录仪的设计与实现](#)
9. [基于 COM Express 的信号系统逻辑运算单元设计](#)
10. [基于 COM Express 的回波预处理模块设计](#)

11. [基于 X86 平台的简单多任务内核的分析与实现](#)
12. [基于 UEFI Shell 的 PreOS Application 的开发与研究](#)
13. [基于 UEFI 固件的恶意代码防范技术研究](#)
14. [MIPS 架构计算机平台的支持固件研究](#)
15. [基于 UEFI 固件的攻击验证技术研究](#)
16. [基于 UEFI 的 Application 和 Driver 的分析与开发](#)
17. [基于 UEFI 的可信 BIOS 研究与实现](#)
18. [基于 UEFI 的国产计算机平台 BIOS 研究](#)
19. [基于 UEFI 的安全模块设计分析](#)
20. [基于 FPGA Nios II 的等精度频率计设计](#)
21. [基于 FPGA 的 SOPC 设计](#)
22. [基于 SOPC 基本信号产生器的设计与实现](#)
23. [基于龙芯平台的 PMON 研究与开发](#)
24. [基于 X86 平台的嵌入式 BIOS 可配置设计](#)
25. [基于龙芯 2F 架构的 PMON 分析与优化](#)
26. [CPU 与 GPU 之间接口电路的设计与实现](#)
27. [基于龙芯 1A 平台的 PMON 源码编译和启动分析](#)
28. [基于 PC104 工控机的嵌入式直流监控装置的设计](#)
29. [GPGPU 技术研究与发展](#)
30. [GPU 实现的高速 FIR 数字滤波算法](#)
31. [一种基于 CPUGPU 异构计算的混合编程模型](#)
32. [面向 OpenCL 模型的 GPU 性能优化](#)
33. [基于 GPU 的 FDTD 算法](#)
34. [基于 GPU 的瑕疵检测](#)
35. [基于 GPU 通用计算的分析与研究](#)
36. [面向 OpenCL 架构的 GPGPU 量化性能模型](#)
37. [基于 OpenCL 的图像积分图算法优化研究](#)
38. [基于 OpenCL 的均值平移算法在多个众核平台的性能优化研究](#)
39. [基于 OpenCL 的异构系统并行编程](#)
40. [嵌入式系统中热备份双机切换技术研究](#)

## Programming:

1. [计算机软件基础数据结构 - 算法](#)
2. [高级数据结构对算法的优化](#)
3. [零基础学算法](#)
4. [Linux 环境下基于 TCP 的 Socket 编程浅析](#)
5. [Linux 环境下基于 UDP 的 socket 编程浅析](#)

6. [基于 Socket 的网络编程技术及其实现](#)
7. [数据结构考题 - 第 1 章 绪论](#)
8. [数据结构考题 - 第 2 章 线性表](#)
9. [数据结构考题 - 第 2 章 线性表 - 答案](#)
10. [基于小波变换与偏微分方程的图像分解及边缘检测](#)
11. [基于图像能量的布匹瑕疵检测方法](#)
12. [基于 OpenCL 的拉普拉斯图像增强算法优化研究](#)
13. [异构平台上基于 OpenCL 的 FFT 实现与优化](#)
14. [数据结构考题 - 第 4 章 串](#)
15. [数据结构考题 - 第 4 章 串答案](#)
- 16.

## FPGA / CPLD:

1. [一种基于并行处理器的快速车道线检测系统及 FPGA 实现](#)
2. [基于 FPGA 和 DSP 的 DBF 实现](#)
3. [高速浮点运算单元的 FPGA 实现](#)
4. [DLMS 算法的脉动阵结构设计及 FPGA 实现](#)
5. [一种基于 FPGA 的 3DES 加密算法实现](#)
6. [可编程 FIR 滤波器的 FPGA 实现](#)
7. [基于 FPGA 的 AES 加密算法的高速实现](#)
8. [基于 FPGA 的精确时钟同步方法](#)
9. [应用分布式算法在 FPGA 平台实现 FIR 低通滤波器](#)
10. [流水线技术在用 FPGA 实现高速 DSP 运算中的应用](#)
11. [基于 FPGA 的 CAN 总线通信节点设计](#)
12. [基于 FPGA 的高速时钟数据恢复电路的实现](#)
13. [基于 FPGA 的高阶高速 FIR 滤波器设计与实现](#)
- 14.